

5. Belgaumker B. M. Shock propagation and crack in materials.— In: Proc. Int. Conf. Fract. Mech. and Technol., Hong-Hong, 1977, v. 2. Alphen aan den Rijn, 1977.
6. Цветков В. М., Лукинов Б. Г., Лифшиц Л. Д. Формирование осколков при дроблении хрупкой среды в условиях всестороннего сжатия.— ФТПРПИ, 1979, № 3.
7. Салганик Р. Л. Механика тел с большим числом трещин.— Изв. АН СССР. МТТ, 1973, № 4.
8. Панасюк В. В. Предельное равновесие хрупких тел с трещинами. Киев: Наук. думка, 1966.
9. Черепанов Г. П. О развитии трещин в сжатых телах.— ПММ, 1966, т. 30, № 1.
10. Melville P. H. Fracture mechanics of brittle materials in compression.— Intern. J. Fracture, 1977, v. 13, p. 532.
11. Бетехтин В. И., Владимиров В. И. и др. Сообщение 1. Деформация и развитие микротрещин.— Пробл. прочности, 1979, № 7.

Поступила 17/IV 1984 г.

УДК 539.217.1+539.214

## О ПОРООБРАЗОВАНИИ, УРАВНЕНИЯХ СОСТОЯНИЯ И УСТОЙЧИВОСТИ СВЕРХПЛАСТИЧЕСКОГО ДЕФОРМИРОВАНИЯ МАТЕРИАЛОВ

О. Б. НАЙМАРК

(Пермь)

Под сверхпластическим понимают такое состояние и поведение материалов, при котором существенно возрастает их способность деформироваться (иногда на сотни и тысячи процентов) без признаков макроскопического разрушения с одновременным уменьшением напряжения текучести [1, 2]. В настоящее время установлено, что эффект сверхпластичности проявляется почти на всех машиностроительных сплавах на основе железа, никеля, титана, алюминия, включая труднодеформируемые инструментальные и жаропрочные стали и сплавы, композиционные, металлокерамические и керамические материалы.

Традиционно выделяют два основных вида сверхпластичности: структурную (изотермическую) сверхпластичность, обусловленную ультрамелкозернистой структурой, и сверхпластичность перехода в интервале температур фазового превращения. Особенности проявления эффекта сверхпластичности свидетельствуют о необходимости учета структуры материала, а сильное влияние скорости деформирования на режимы сверхпластичности — корректного описания релаксационных процессов. Изучению влияния структуры материала, порообразования на сверхпластическое поведение и его устойчивость посвящена данная работа.

Основным структурным признаком сверхпластической деформации при определенных температурно-скоростных режимах является массовое перемещение зерен типа «перетекания». Массовость таких перемещений обеспечивает исключительно высокую пластичность без заметной деформации отдельных зерен. Развитие почти «гидродинамического» характера течения по отношению к каждому конкретному зерну при сверхпластичности естественно связать с появлением свободного объема. Известно, что пластическое деформирование сопровождается образованием микротрещин, пор и это явление получило название пластического разрыхления [3]. В [4, 5] изучен механизм сверхпластичности, сопровождающийся интенсивным порообразованием, и показано, что наличие пор, микротрещин является важным структурным фактором, обеспечивающим необычно высокую пластичность.

В качестве параметра, определяющего объемную концентрацию и преимущественную ориентацию пор, микротрещин, может служить симметричный тензор  $p_{ik} = n \langle s_{ik} \rangle$ , где  $n$  — число микротрещин в единице объема, а «микроскопическая» величина

$$(1) \quad s_{ik} = s v_i v_k$$

характеризует объем и ориентацию микротрещины нормального отрыва с основанием  $S_D = S_D v$  и вектором  $b = b v$  скачка смещений [6]. Объем микротрещины есть  $s = S p s_{ik} = S_D b$ , а билинейная по отношению к компонентам единичного вектора  $v$  структура тензора  $s_{ik}$  аналогична, например, структуре тензора ориентации в физике полимеров и жидких кристаллов [7].

Закономерности трещинообразования в поликристаллических твердых телах связаны с существенной гетерогенностью их микроструктуры [8]. Зародышами микротрещин в металлах являются скопления дислокаций, границы блоков, межзеренные границы. Зародыши, превышающие некоторый критический размер, способны при определенных условиях увеличить свой объем и развиваться в микротрещину. В [9, 10] экспериментально исследован механизм микроразрушения, заключающийся в ускорении роста имеющихся микротрещин и в зарождении новых в результате сброса энергии упругой деформации, выделяющейся при разрушении микрообъема. Этот механизм позволяет предложить модель разрушения, основанную на вычислении энергии упру-

гой деформации, выделяющейся в локальном объеме при трещинообразовании. Энергию микротрещины в приближении самосогласованного поля можно записать в виде [11]

$$(2) \quad E = E_0 - H_{ik} s_{ik} + \alpha s_{ik}^2,$$

где  $E_0$  — слагаемое, зависящее от  $p_{ik}^*$ ;  $H_{ik}$  — эффективное силовое поле, действующее на микротрещину;  $\alpha$  и  $\lambda$  — параметры материала. В [13] предложена модель термоактивированного зарождения микротрещин и показано, что в области их появления создаются значительные перенапряжения. При этом зарождение микротрещин является эффективным механизмом возврата в объемах с размерами  $\sim 10^{-5}$  мм. Квадратичный по  $s_{ik}$  член в (2) определяет величину упругой энергии, «закачиваемой» в материал при увеличении объема  $V_0$  зародыша микротрещины. Из соображений размерности можно записать  $\alpha \sim G/V_0$ , где  $G$  — модуль упругости материала,  $V_0$  — характерный объем зародышей микротрещин. Эффективное поле  $H_{ik}$  представляется пропорциональным макроскопическому напряжению  $\sigma_{ik}$  и достигнутому уровню трещиноватости  $p_{ik}$ :

$$(3) \quad H_{ik} = \gamma \sigma_{ik} + \tilde{\lambda} p_{ik} = \gamma \sigma_{ik} + \lambda c_{ik},$$

где  $c_{ik} = \langle s_{ik} \rangle$ ;  $\lambda = \tilde{\lambda} n$ .

Вид  $H_{ik}$  отражает тот факт, что внутренние перестройки структуры происходят под действием локальных напряжений, которые могут существенно отличаться от макроскопического среднего [14]. Слагаемое  $\tilde{\lambda} p_{ik}$  определяет силовое воздействие на микротрещину, приписываемое обычно дальнедействующим полям дислокаций и вызывающее рост микротрещин в поле собственных перенапряжений. Замечание о структуре коэффициента  $\alpha$  позволяет сделать предположение о том, что с ростом объемной концентрации микротрещин в материале и уменьшением его модуля параметр  $\alpha$  также уменьшается.

В равновесии вероятность различных ориентаций и размеров микротрещин пропорциональна  $\exp(-E/T)$ , где  $T$  — температура, измеренная в энергетических единицах. С учетом (2) и (3) нормированная функция распределения имеет вид

$$(4) \quad W = Z^{-1} \exp \left[ \frac{1}{T} (-E_0 + H_{ik} s_{ik} - \alpha s_{ik}^2) \right],$$

$$Z = \int \exp \left[ \frac{1}{T} (-E_0 + H_{ik} s_{ik} - \alpha s_{ik}^2) \right] ds d^3 \mathbf{v}.$$

Это выражение содержит макроскопический тензор  $p_{ik}$ , который по своему определению есть среднее от  $s_{ik}$  с функцией распределения  $W$ . Таким образом, для  $p_{ik}$  получаем уравнение самосогласования

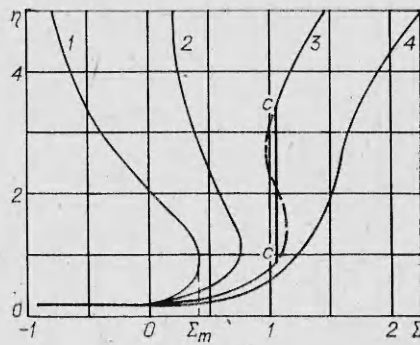
$$(5) \quad p_{ik} = n \int s_{ik} Z^{-1} \exp(-E/T) ds d^3 \mathbf{v}.$$

Изучение равновесных свойств упругой среды с микротрещинами на основе уравнения (5) проведено в [15] при одноосном растяжении образца постоянным напряжением. В этом случае  $\sigma_{ik} = \sigma n_i n_k$ ,  $p_{ik} = p n_i n_k$  (растяжение в направлении оси  $\mathbf{n}$ ) и уравнение (5) после введения безразмерных параметров принимает вид

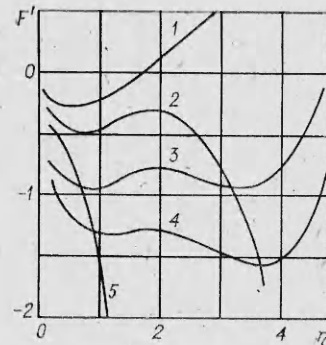
$$(6) \quad \eta = \frac{\int_0^1 \int_0^1 v x^2 \exp \left\{ \frac{1}{\theta} \left[ \frac{2}{\delta} (\eta + \Sigma) v x^2 - v^2 \right] \right\} dx dv}{\int_0^1 \int_0^1 \exp \left\{ \frac{1}{\theta} \left[ \frac{2}{\delta} (\eta + \Sigma) v x^2 - v^2 \right] \right\} dx dv},$$

где  $x = (\mathbf{v} \cdot \mathbf{n})$ ;  $\theta = T \lambda^2 / G^2 \alpha$ ;  $v = \frac{\lambda}{G} s$ ;  $\eta = \frac{\lambda}{G n} p$ ;  $\Sigma = \frac{\gamma \sigma}{G}$ ;  $\delta = \frac{2\alpha}{\lambda}$ . Статистико-термодинамическое описание позволило выяснить характерные реакции твердых тел на трещинообразование. На фиг. 1 (линии I—4 —  $\delta = 0,8; 1; 1,2; 1,4$ ) изображены зависимости концентрации микротрещин от величины напряжения при  $\theta = 1$  для различных значений структурного параметра  $\delta = 2\alpha/\lambda$ , полученные на основе численного решения уравнения (6). Величина параметра  $\delta$  определяется естественными масштабными характеристиками материала [14]: средним размером гетерогенной структуры (например, размером зерна, блоков в металле) и корреляционным радиусом полей микро-

\* В [12] показано, что в нулевом приближении среднего поля следует писать  $E_0 = -\frac{1}{2} \lambda \langle s_{ik} \rangle^2$ .



Ф и г. 1



Ф и г. 2

напряжений, вносимых микротрещинами. Для значений  $\delta > \delta_*$  ( $\delta_* = 1,3$ ), что соответствует материалам с относительно малым размером зерна  $R$  ( $\delta \sim R^{-3}$ ), имеет место устойчивая равновесная реакция твердого тела на трещинообразование. Соответствующий этому результату обратимый характер изменения объемной концентрации микротрещин наблюдался на начальной стадии пластической деформации в алюминии и цинке [16]. В интервале  $\delta_c < \delta < \delta_*$  ( $\delta_c = 1$ ) существует метастабильность по параметру  $p_{ik}$ , связанная с ориентационными степенями свободы микротрещин. При этом в области неоднозначности может наблюдаться скачкообразный ориентационный переход, аналогичный фазовому переходу первого рода ( $c - c$  — линия равновесного перехода). Для  $\delta < \delta_c$  (уменьшение  $\delta$  можно рассматривать, например, как следствие увеличения характерного размера зерна) скачок по параметру  $p_{ik}$  становится бесконечным. Результаты решения уравнений самосогласования легко пояснить, вычислив вклад в свободную энергию  $F$ , связанный с микротрещинами. Как известно,  $F = -nT \ln Z$  и с учетом (4) для случая одноосного нагружения получаем

$$(7) \quad F = n \frac{G^2 \alpha}{\lambda^2} \left\{ \frac{1}{\delta} \eta^2 - \theta \ln \int_0^{\infty} \exp \left[ \frac{1}{\theta} \left( \frac{2}{\delta} (\eta + \Sigma) vx^2 - v^2 \right) \right] dx dv \right\}.$$

На фиг. 2 приведены зависимости  $F'(\eta) = (nG^2\alpha/\lambda^2)^{-1}F$  (линии 1—5 соответствуют  $\delta = 1,4; 1; 1,2; 1,2; 1$  и  $\Sigma = 0,6; 0,57; 1,05; 1,1; 0,8$ ). Равновесные значения параметра  $\eta$  соответствуют точкам минимума функции  $F'(\eta)$ . Для значений  $\delta > \delta_*$  на кривых имеется один минимум, метастабильность фаз в области перехлеста ( $\delta_c < \delta < \delta_*$ ) связана с существованием двух минимумов функции  $F'(\eta)$ . Увеличение растягивающего напряжения приводит к выполаживанию левого минимума, правый же минимум становится более глубоким. При некотором напряжении, определяющем верхнюю границу области метастабильности, левый минимум исчезает и закономерности трещинообразования при дальнейшем увеличении напряжения аналогичны рассмотренному выше случаю. При  $\delta < \delta_c$  множеству значений напряжений, меньших  $\Sigma_m$ , соответствует область метастабильности, однако правый минимум функции  $F(\eta)$  здесь становится бесконечно глубоким и объемная концентрация микротрещин при конечном напряжении может стать бесконечно большой. Для растягивающих напряжений, превышающих  $\Sigma_m$  (предел устойчивости термодинамической ветви [17]), метастабильное состояние исчезает, что свидетельствует об отсутствии равновесия в системе. Изучение кинетики процесса трещинообразования показало [15], что именно в этой области наблюдался лавинообразный рост объемной концентрации микротрещин, заканчивающийся зарождением очагов макротрещин и разрушением.

Как известно, пластическая деформация и разрушение являются взаимодействующими процессами, происходящими практически в течение всего времени пребывания твердого тела под нагрузкой. Описание кинетики трещинообразования и выяснение взаимосвязи процессов разрушения и пластической деформации можно провести на основе теории распада метастабильных состояний [14]. В соответствии с ней при переходе системы из одного равновесного состояния в другое требуется преодолеть потенциальный барьер, высота которого зависит от выбора конкретной траектории в пространстве состояний. Кинетику таких переходов можно описать в различных приближениях. Следуя [18], построим уравнения состояния в приближении локального равновесия, для чего воспользуемся следующим представлением для объемной плотности свободной энергии  $\mathcal{F}$  [11]:

$$(8) \quad \mathcal{F} = F + \mu \left( u_{ik} - \frac{1}{3} u_{il} \delta_{ik} \right)^2 + K u_{il}^2 / 2,$$

где  $u_{ik}$  — тензор упругой деформации;  $\mu$  и  $K$  — сдвиговый и объемный модули изотропного в отсутствие микротрещин материала. Используя законы сохранения массы,

импульса и полной энергии, а также соотношение Гиббса для роста энтропии, можно получить выражение для диссипативной функции [19]

$$(9) \quad TP_S = -\frac{q_k}{T} \frac{\partial T}{\partial x_k} + \sigma_{ik} e_{ik}^p - \Pi_{ik} \frac{dp_{ik}}{dt} \geq 0,$$

где  $P_S$  — производство энтропии;  $q_k$  — компоненты вектора потока тепла; тензор  $\Pi_{ik} = \partial F / \partial p_{ik}$  является термодинамической силой, действующей на систему, когда значение  $p_{ik}$  отличается от равновесного. Тензор скоростей пластических деформаций  $e_{ik}^p$  вычисляется как разность

$$(10) \quad e_{ik}^p = e_{ik} - u_{ik},$$

где  $e_{ik} = \frac{1}{2} \left( \frac{\partial v_i}{\partial x_k} + \frac{\partial v_k}{\partial x_i} \right)$  — тензор скоростей деформаций;  $v_i$  — компоненты вектора

скорости. Компоненты тензора упругих деформаций  $u_{ik}$  с учетом анизотропии свойств, вносимой микротрещинами, определяются соотношениями анизотропной теории упругости [20]

$$(11) \quad u_{ik} = c_{iklm} \sigma_{lm}.$$

Здесь  $c_{iklm}$  — тензор эффективных упругих податливостей материала с микротрещинами:

$$(12) \quad c_{iklm} = c \delta_{il} \delta_{km} + c_1 (p_{il} \delta_{km} + p_{kl} \delta_{im}) + c_2 p_{ik} p_{lm},$$

$c$ ,  $c_1$  и  $c_2$  — феноменологические коэффициенты.

Условию знакоопределенности выражения (9) можно удовлетворить, записав определяющие уравнения в виде [19]

$$(13) \quad q_i = -\lambda_{ik} (p_{\alpha\beta}) \frac{\partial T}{\partial x_k};$$

$$(14) \quad \sigma_{ik} = L_{iklm}^{(1)} (p_{\alpha\beta}) e_{lm}^p - L_{iklm}^{(2)} (p_{\alpha\beta}) \dot{p}_{lm},$$

$$\Pi_{ik} = L_{iklm}^{(3)} (p_{\alpha\beta}) e_{lm}^p - L_{iklm}^{(3)} (p_{\alpha\beta}) \dot{p}_{lm}$$

с учетом симметрии кинетических коэффициентов по Онзагеру и при условии положительной определенности коэффициентов  $\lambda_{ik}$ ,  $L_{iklm}^{(1)}$ ,  $L_{iklm}^{(3)}$ :

$$(15) \quad \{\lambda_{ik}\} > 0, \{L_{iklm}^{(1)}\} > 0, \{L_{iklm}^{(3)}\} > 0.$$

Уравнения состояния (13), (14) квазилинейные, т. е. предполагается зависимость кинетических коэффициентов  $\lambda_{ik}$ ,  $L_{iklm}^{(\alpha)}$  от параметра  $p_{ik}$ . Вызываемая структурным параметром  $p_{ik}$  анизотропия кинетических коэффициентов  $L_{iklm}^{(\alpha)}$  описывает деформационную анизотропию механических свойств и появление текстур в пластически деформируемом материале. С учетом симметрии параметра плотности микротрещин общий вид зависимости кинетических коэффициентов  $L_{iklm}^{(\alpha)}$  от  $p_{ik}$  следующий:

$$(16) \quad L_{iklm}^{(\alpha)} = l^{(\alpha)} \delta_{il} \delta_{km} + l_1^{(\alpha)} (p_{il} \delta_{km} + p_{kl} \delta_{im}) + l_2^{(\alpha)} p_{ik} p_{lm},$$

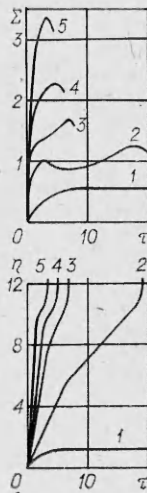
где  $l^{(\alpha)}$ ,  $l_1^{(\alpha)}$  и  $l_2^{(\alpha)}$  — некоторые феноменологические коэффициенты.

Рассмотрим влияние трещинообразования на деформационные свойства материалов при традиционных видах нагружения. Используя выражения (10), (11) и ограничиваясь в (12) и (16) первыми членами разложения, для случая одноосного растяжения в направлении оси  $z$  ( $e_{zz} = e$ ,  $\sigma_{zz} = \sigma$ ,  $p_{zz} = p$ ) уравнения (14) можно привести к виду

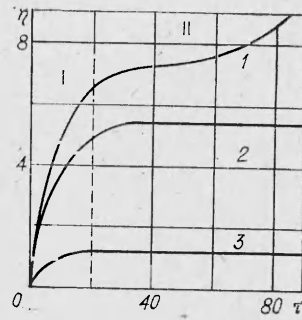
$$(17) \quad \frac{\partial \sigma}{\partial t} = G \left( c - \frac{\sigma}{l^{(1)}} - \frac{l^{(1)}}{l^{(2)}} \frac{\partial p}{\partial t} \right), \quad \frac{\partial p}{\partial t} = -\frac{l^{(2)}}{l^{(3)}} \frac{1}{G} \frac{\partial \sigma}{\partial t} + \frac{l^{(2)}}{l^{(3)}} e - \frac{1}{l^{(3)}} \Pi,$$

где  $G$  — модуль Юнга. В [11] показано, что микротрещины, увеличивая податливость материала, вызывают уменьшение величины параметра  $\delta$ . С учетом малых объемных концентраций микротрещин в материале вплоть до состояний, предшествующих разрушению, естественно ограничиться линейным приближением по  $\eta$  в разложении для  $\delta$ :  $\delta = \delta_0(1 - \varepsilon\eta)$  ( $\varepsilon$  — положительная константа материала). После перехода к безразмерным переменным уравнения (17) могут быть преобразованы к виду

$$(18) \quad \frac{\partial \Sigma}{\partial \tau} = \Gamma - \Sigma - \chi_1 \frac{\partial \eta}{\partial \tau}, \quad \frac{\partial \eta}{\partial \tau} = \chi_2 \left( \Gamma - \frac{\partial \Sigma}{\partial \tau} \right) - \chi_1 \chi_2 \Pi,$$



Ф и г. 3

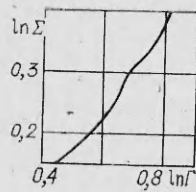


Ф и г. 4

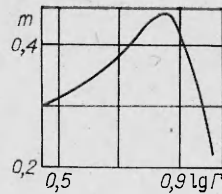
где  $\Sigma = \sigma/G$ ;  $\tau = t/t_m$ ;  $t_m = l^{(1)}/G$  — время релаксации;  $\Gamma = \epsilon t_m$  — безразмерная скорость деформации;  $\chi_1 = \frac{l^{(1)} G n}{l^{(2)} \lambda}$ ;  $\chi_2 = l^{(2)}/l^{(3)}$ ;  $\Pi' = \frac{\delta}{2} \frac{\partial F'}{\partial \eta}$ . Система (18) исследова-

лась численно для двух режимов деформирования: растяжения с постоянной скоростью деформации ( $\Gamma = \text{const}$ ,  $\eta = \Sigma = 0$  при  $\tau = 0$ ) и при постоянном растягивающем напряжении ( $\Sigma = \text{const}$ ,  $\eta = 0$  при  $\tau = 0$ ). Исходное значение структурного параметра  $\delta$  соответствовало устойчивой реакции материала на трещинообразование  $\delta_0 = 1,5$ . Изображенные на фиг. 3 зависимости  $\Sigma(\tau)$  и  $\eta(\tau)$  вычислены для следующих параметров:  $\epsilon = 0,05$ ,  $\chi_1 = 1, 0$ ,  $\chi_2 = 0,5$  (линии 1—5 соответствуют  $\Gamma = 0,5; 1,5; 4; 5; 7$ ). При высоких скоростях деформации зависимость  $\Sigma(\tau)$  носит почти линейный характер. Резкое снижение сопротивления деформированию связано с интенсивным ростом объемной концентрации микротрещин при переходе на абсолютно неустойчивую ветвь зависимости  $\eta(\Sigma)$  при  $\delta < \delta_c$  (см. фиг. 1), минуя мегастабильные состояния в интервале  $\delta_c < \delta < \delta_*$ . Уменьшение скорости растяжения приводит к появлению площадки текучести, что обусловлено резким изменением концентрации микротрещин на метастабильной ветви и, как следствие этого, увеличением темпа релаксации напряжений. При значениях скоростей деформаций, меньших некоторой критической ( $\Gamma < \Gamma_*$ ), устанавливается режим стационарного течения с постоянным уровнем объемной концентрации микротрещин. Такой режим деформации естественно интерпретировать как сверхпластический, что подтверждается экспериментальными результатами работ [4, 5], где показано, что условием, при котором реализуется так называемая структурная сверхпластичность, является постоянство объемной концентрации пор. Постоянный уровень пористости поддерживается в ходе динамического процесса зарождения одних пор при относительном проскальзывании зерен и схлопывании других. Для реализации режимов структурной сверхпластичности должно выполняться условие  $\Pi = \frac{\partial F}{\partial p} > 0$ , т. е. увеличение объема пористости до значений выше равновесных за счет пластической деформации приводит к относительному увеличению свободной энергии, что термодинамически невыгодно для системы. В этом, по-видимому, и заключается суть аккомодационного механизма при структурной сверхпластичности: дополнительное раскрытие пор при проскальзывании зерен вызывает обратную термодинамическую реакцию в материале — стремление уменьшить объем пор. В [21, 22] проведено экспериментальное исследование сверхпластического поведения при испытаниях на ползучесть. При этом установлено, что в оптимальных условиях деформация осуществляется в основном путем индивидуального перемещения проскальзывающих друг относительно друга зерен. Именно это обстоятельство отличает оптимальные условия течения от остальных.

На фиг. 4 (линии 1—3 —  $\Sigma = 1; 0,7; 0,5$ ) приведены результаты численного интегрирования уравнений (18) для растяжения в условиях ползучести при тех же значениях параметров. Изображенные кривые имеют следующие особенности. При малых и средних  $\Sigma$  кривая ползучести делится на два участка с сильно различающимися скоростями ползучести. Первый участок I характеризуется относительным постоянством  $\Gamma$ . Здесь скорость максимальна и накапливаемая деформация составляет наибольшую часть достигаемой к моменту разрушения деформации. Во втором участке ползучести скорость деформации значительно ниже (почти на порядок) средней скорости ползучести на первом участке. С увеличением  $\Sigma$  относительная протяженность второго участка сокращается, а начиная с  $\Sigma = 1,3$  он полностью исчезает. В области деформаций, принадлежащих первому участку, зависимость  $\lg \Sigma \sim f(\lg \Gamma)$  носит четко выраженный сигмоидальный характер (фиг. 5). В области средних скоростей II она имеет наибольший наклон и точку перегиба на зависимости  $m = \lg \Sigma / \lg \Gamma$  (фиг. 6). Аналогичные результаты получены экспериментально в [22]



Ф и г. 5



Ф и г. 6

на сплаве АК4-1. Образец из этого материала накапливает основную часть деформации в условиях сверхпластичности, а затем выходит из этого состояния в результате структурных изменений и разрушается.

В [23] отмечается, что условием возникновения сверхпластичности может явиться также метастабильность сплавов — так называемая сверхпластичность перехода. Эффект сверхпластичности возникает при этом вследствие стабилизации, т. е. снятия метастабильного состояния, физически выражающегося в устранении несоответствия фаз состоянию, в котором они находятся, и в снятии искажений кристаллической решетки. «Метастабильная» структура материала определяется значениями параметра  $\delta$ , соответствующими кривым с перехлестом на фиг. 1. Для значений напряжений в области неоднозначности наблюдается резкий переход к большим значениям объемной концентрации пор в материале. Такой переход характеризуется уменьшением свободной энергии материала ( $\partial F/\partial p \rightarrow 0$ ), что, как следует из (18), приводит к усилению темпа релаксации напряжений и увеличению пластичности. Такое локальное увеличение пластичности (локальная шейка) не приводит к разрушению образца вследствие конечной величины скачка по параметру плотности микротрещин. Появление многочисленных локальных шеек по длине образца может приводить к увеличению пластической деформации при постоянном или даже ниспадающем напряжении.

Проведенные выше рассуждения по механизмам структурной сверхпластичности и сверхпластичности перехода позволяют также рассмотреть вопросы устойчивости сверхпластической деформации, связав устойчивость со структурой материала. Традиционный для теории пластичности анализ устойчивости сверхпластического деформирования проведен Россаром, Хартом и Кембеллом [24], которым исследована устойчивость на основе уравнений состояния теории пластического течения в зависимости от феноменологических параметров, определяющих скоростное и деформационное упрочнение. Однако в [24, 25] отмечается, что анализ условий устойчивости должен проводиться с учетом структурных изменений в материале. К ним в первую очередь относятся влияние порообразования и увеличения среднего размера зерен при температурах  $T = 0,4T_{пл}$ .

Как следует из результатов самосогласования и уравнений (17), сверхпластическая деформация, в том числе связанная с реализацией локальных «конечных» неустойчивостей, будет наблюдаться в области значений структурного параметра  $\delta > \delta_c$ . Укрупнение зерен, происходящее при температурах сверхпластичности, увеличивает характерный размер зародышей микротрещин и может привести к неограниченному росту объемной концентрации пор в материале и разрушению.

#### ЛИТЕРАТУРА

1. Бочвар А. А. Сверхпластичность металлов и сплавов. М.: Ин-т металлургии АН СССР, 1967.
2. Кайбышев О. А. Пластичность и сверхпластичность металлов. М.: Металлургия, 1975.
3. Новожиллов В. В. О пластическом разрыхлении. — ПММ, 1965, т. 29, вып. 4.
4. Кузнецова Р. И. Роль зернограничной пористости в сверхпластичности. — ФММ, 1978, т. 45, вып. 3.
5. Кузнецова Р. И. Уровень зернограничной пористости при сверхпластичности. — ДАН СССР, 1982, т. 263, вып. 1.
6. Наймарк О. Б. О деформационных свойствах и кинетике разрушения полимеров с субмикротрещинами. — Механика композит. материалов, 1981, № 1.
7. Шлюмис М. И., Райхер Ю. Л. Ориентационное упорядочение и механические свойства твердых полимеров. — ЖЭТФ, 1978, т. 14, вып. 5.
8. Бетехтин В. И., Владимиров В. И. Кинетика микроразрушения кристаллических тел. — В кн.: Проблемы прочности и пластичности твердых тел. Л.: Наука, 1979.
9. Лексовский А. М., Баскин Б. Л. и др. Исследование развития микротрещин методом РЭМ in situ. — ФТТ, 1983, т. 25, вып. 4.
10. Лексовский А. М., Баскин Б. Л., Азимов Ш. Ш., Регель В. Р. Влияние освобождения упругой энергии на развитие разрушения при статическом и циклическом нагружении. — В кн.: Тезисы Всесоюз. конф. по усталости металлов. М., 1982.
11. Наймарк О. Б., Давыдова М. М., Постных А. М. О деформировании и разрушении гетерогенных материалов с микротрещинами. — Механика композит. материалов, 1984, № 2.

12. Вакс В. Г., Ларкин А. И., Пикин С. А. О методе самосогласованного поля при описании фазовых переходов. — ЖЭТФ, 1966, т. 51, вып. 2.
13. Владимиров В. И., Орлов А. Н. Энергия активации зарождения микротрещин в голове скопления дислокаций. — ФТТ, 1969, т. 11, вып. 2.
14. Инденбом В. Л., Орлов А. Н. Долговечность материала под нагрузкой и накопление повреждений. — ФММ, 1977, т. 43, вып. 3.
15. Наймарк О. Б. О термодинамике деформирования и разрушения твердых тел с микротрещинами. Препринт ИМСС УНЦ АН СССР. Свердловск, 1982.
16. Бетехтин В. И., Владимиров В. И., Петров А. И., Садовников Б. В. Обратимый характер начальной стадии разрушения в металлах. — В кн.: Металлофизика. Киев: Наук. думка, 1975, вып. 61.
17. Николс Г., Пригожин И. Самоорганизация в неравновесных системах. М.: Мир, 1979.
18. Инденбом В. Л., Орлов А. П. Термически активированные процессы в кристаллах. М.: Мир, 1973, вып. 2.
19. Де Гроот С., Мазур П. Неравновесная термодинамика. М.: Мир, 1964.
20. Лехницкий С. Г. Теория упругости анизотропного тела. М.: Наука, 1977.
21. Кузнецова Р. И., Жуков Н. Н. Структурные изменения при сверхпластической деформации сплавов Al — Ge. — ФММ, 1979, т. 47, вып. 6.
22. Кузнецова Р. И., Малярова Т. А. и др. Сверхпластичность сплава АК4-1 в условиях ползучести. — ФММ, 1981, т. 52, вып. 2.
23. Пресняков А. А., Аубакирова Ф. К. Сверхпластичность металлических материалов. Алма-Ата: Наука, 1982.
24. Пуарье Ж. П. Высокотемпературная пластичность кристаллических тел. М.: Металлургия, 1982.
25. Бочвар А. А. Сверхпластичность мелкозернистых материалов. — В кн.: II Все-союз. конф. «Сверхпластичность металлов». М.: МИСИС, 1981.

Поступила 14/IX 1984 г.

УДК 539.376

## ОБ УСТОЙЧИВОСТИ СТЕРЖНЕЙ ИЗ НЕОДНОРОДНО СТАРЕЮЩЕГО МАТЕРИАЛА В УСЛОВИЯХ НЕЛИНЕЙНОЙ ПОЛЗУЧЕСТИ

А. Д. ДРОЗДОВ  
(Москва)

В работе получены условия устойчивости армированного стержня, изготовленного из неоднородно стареющего материала, при нелинейном законе ползучести.

Задача устойчивости неоднородно стареющих вязкоупругих стержней в линейной постановке исследовалась в [1, 2].

**1. Постановка задачи.** Рассмотрим изгиб прямолинейного стержня длины  $l$ , изготовленного из неоднородно стареющего вязкоупругого материала. Стержень имеет две оси симметрии. Изгиб происходит в плоскости, проходящей через продольную ось и ось симметрии. Введем ось  $Ox$ , направленную вдоль продольной оси стержня в недеформированном состоянии. Поперечное сечение стержня одинаково для всех точек  $x$ . Введем в сечении стержня оси  $x_1$  и  $x_2$ . Ось  $x_1$  лежит в плоскости изгиба стержня, ось  $x_2$  направлена по нейтральной оси. Область на плоскости  $x_1x_2$ , занятую сечением стержня, обозначим через  $\Omega$ . Площадь поперечного сечения стержня  $S$ , момент инерции сечения относительно нейтральной оси  $J$ :

$$(1.1) \quad \int_{\Omega} ds = S, \quad \int_{\Omega} x_1 ds = 0, \quad \int_{\Omega} x_1^2 ds = J.$$

Здесь  $ds$  — элемент площади сечения.

Начало отсчета времени положим в момент зарождения материала в окрестности точки  $O$ . Возраст материала в окрестности точки  $x$  относительно материала в точке  $O$  обозначим через  $\rho(x)$ . Функция  $\rho$  кусочно-непрерывная и ограниченная.

В момент времени  $t_0 \geq 0$  к стержню приложена сжимающая сила  $P$  и распределенная поперечная нагрузка интенсивности  $q(x)$ . При одноосном напряженном состоянии напряжение  $\sigma(t, x)$  и деформация  $e(t, x)$  в точке  $x$  в момент времени  $t \geq t_0$  связаны соотношением [3]

$$(1.2) \quad E\varphi(e(t, x)) = (I + K)\sigma, \quad \sigma(t, x) = E(I - R)\varphi(e),$$

где  $E$  — постоянный модуль упругомгновенной деформации;  $I$  — единичный оператор;  $K, R$  — операторы ползучести и релаксации:

$$K\sigma = \int_{t_0}^t k(t + \rho(x), \tau + \rho(x)) \sigma(\tau, x) d\tau, \quad Re = \int_{t_0}^t r(t + \rho(x), \tau + \rho(x)) e(\tau, x) d\tau;$$